

керамики ЦТС-19 (1) диаметром 2,9 см и толщиной 1,2 см. В качестве пружин применялись дюралевые балки (2), которые опирались на кольцевые выступы металлических дисков (3). Резонансная частота балки, нагруженной массой, т. е. собственная частота отдельного звена цепочки, определялась по формулам, приведенным в работе [7], и составляла в данном случае  $f_0 = 2,46$  кГц. Вся система помещалась в цилиндрический дюралевый корпус (4), который герметично закрывался тонкой пластиной из латуни (5). Рабочая поверхность преобразователя имела диаметр 5 см.

Измерения проводились по следующей схеме. Синусоидальное напряжение звуковой частоты подавалось с генератора на исследуемый излучатель и частотомер. Прием звукового сигнала с излучателя осуществлялся с помощью приемника. После усиления сигнал приемника поступал на осциллограф. Амплитуда сигнала измерялась в относительных единицах на экране осциллографа.

На рис. 3 приведены результаты экспериментов для синфазного ( $\varphi_2 = \varphi_3 = 0$ ) и противофазного ( $\varphi_2 = \pi, \varphi_3 = 0$ ) возбуждения пьезопластин, представленные в виде графиков зависимости относительной амплитуды сигнала на экране осциллографа от частоты, а также теоретически рассчитанные значения резонансных частот ( $f_1, f_2$  и  $f_3$ ). Из графиков следует, что расчетные резонансные частоты достаточно хорошо совпадают с измеренными экспериментально. Нижний из наблюдаемых резонансов имеет частоту около 1 кГц, что в 180 раз ниже частоты нижнего распределенного (полуволнового) резонанса использованных пьезопластин. Небольшое превышение расчетных частот над измеренными может быть объяснено тем, что расчет резонансных частот нагруженных балок с помощью метода Рэлея дает несколько завышенное значение частоты [7].

Приведенные результаты на конкретном примере доказывают возможность использования дискретных структур с пьезоактивными инерционными элементами в качестве многочастотных излучателей.

#### СПИСОК ЛИТЕРАТУРЫ

- [1] Простаков А. Л. Гидроакустические средства флота. М.: Воениздат, 1974, 127 с.
- [2] Sherman C. H. Underwater sound — a review. Part 1. Underwater sound transducers. — IEEE Trans. Sonic and Ultrasonic, 1975, SU-22, N 5, p. 281—290.
- [3] Ультразвуковые преобразователи. Под ред. Е. Кичуи. М.: Мир, 1972, 424 с.
- [4] Свердлин Г. М. Прикладная гидроакустика. Л.: Судостроение, 1976, 280 с.
- [5] Домаркас В. И., Кажис Р.-И. Ю. Контрольно-измерительные пьезоэлектрические преобразователи. Вильнюс: Минтис, 1975, 256 с.
- [6] Корн Г., Корн Т. Справочник по математике для научных работников и инженеров. М.: Наука, 1974, с. 776.
- [7] Тимошенко С. П. Колебания в инженерном деле. М.: Наука, 1967, с. 30.

Поступила в редакцию  
03.07.79

УДК 534.222

#### СИНТЕЗ НЕПРЕРЫВНЫХ СОГЛАСУЮЩИХ ПЕРЕХОДОВ МЕЖДУ СТЕРЖНЕВЫМИ ВОЛНОВОДАМИ

Е. В. Именитова, К. В. Чернышев

(кафедра акустики)

Стержневыми будем называть твердые волноводы, диаметр которых мал в сравнении с длиной распространяющейся волны. В таких волноводах может распространяться только одна, низшая, мода. Вли-

нием нераспространяющихся мод на величину коэффициента отражения волны от места соединения двух волноводов разных поперечных размеров будем пренебрегать. Под согласованием понимается получение возможно меньшего интегрального коэффициента отражения в некоторой полосе частот.

Задачи на минимум коэффициента отражения часто возникают при расчете сложных конструкций для передачи и трансформации упругих колебаний. Решаются такие задачи применением согласующих переходов, поперечные размеры которых представляют собой непрерывные или кусочно-непрерывные функции координат. В тех случаях, когда согласование требуется осуществить на достаточно низких частотах, может оказаться, что допустимая длина согласующего перехода будет в несколько раз меньше длины волны, распространяющейся в волноводах. В этом случае можно говорить о задаче синтеза коротких согласующих переходов. Заметим, что методы, разработанные в СВЧ-радиотехнике, позволяют рассчитывать плавные согласующие переходы, длина которых примерно равна или больше длины распространяющейся волны [1, 2]. Эти методы, однако, неприменимы для синтеза коротких переходов.

Рассмотрим систему, состоящую из двух полубесконечных однородных круглых стержней разных диаметров и согласующего перехода — круглого соединительного стержня, площадь поперечного сечения  $S(\bar{x})$  которого является функцией продольной координаты  $\bar{x}$ . Пусть начало и конец соединительного стержня имеют координаты  $\bar{x}=\bar{0}$  и  $\bar{x}=\bar{x}_0$ , тогда площади его торцов равны  $S(0)$  и  $S(\bar{x}_0)$ . Площади поперечных сечений полубесконечных стержней обозначим через  $S_1$  (для  $\bar{x}<0$ ) и  $S_2$  (для  $\bar{x}>\bar{x}_0$ ), плотности — через  $\rho_1$  и  $\rho_2$ , скорости распространения продольных волн в них — через  $c_1$  и  $c_2$  соответственно. В дальнейшем будем использовать безразмерные волновые числа  $k=\omega c_1/\omega_n c$ , где  $\omega$  — круговая частота волны,  $\omega_n$  — нижняя круговая частота рабочего диапазона, и безразмерную координату  $x=\bar{x}\omega_n/c_1$ .

Будем считать, что волна, падающая на входное сечение соединительного стержня, приходит к сечению  $x=0$  из точки  $x=-\infty$ . Коэффициент отражения  $r$  положим равным  $T_a/T_r$ , где  $T_a$  и  $T_r$  — комплексные амплитуды падающей и отраженной волн в сечении  $x=0$ ; тогда коэффициент отражения по энергии  $R=|r|^2$ . Наилучшее согласование обеспечивает соединительный стержень, при котором

$$\int_{k_1}^{k_2} R^2 v(k) dk = \min,$$
 где  $k_2$  соответствует круговой частоте  $\omega=\omega_n$  — верхней для рабочего диапазона частот,  $v(k)>0$  — весовая функция, введение которой может оказаться целесообразным в некоторых задачах.

Одномерное уравнение продольных колебаний стержней переменного сечения для смещения  $\xi(x)$  имеет вид:

$$\frac{d^2 \xi}{dx^2} + u(x) \frac{d \xi}{dx} + k^2 \xi = 0. \quad (1)$$

Здесь через  $u(x)$  обозначена производная  $d \ln S(x)/dx$ , которую будем называть функцией управления. Уравнение (1) используем для определения формы согласующего стержня. Эта форма задается конкретным видом функции  $S(x)$ . Механическая прочность стержня будет обеспечена, если при любом  $x$  на отрезке  $[0, x_0]$  будет  $S \geq S_{\min}$ , где  $S_{\min}$  определяется условиями эксплуатации системы; равномерная непрерывность, которую будем требовать для функции  $S(x)$ , означает,

что производная  $dS/dx$  ограничена по модулю. Следовательно, функция  $u(x)$  должна удовлетворять неравенствам  $u_{\min} \leq u(x) \leq u_{\max}$ . В процессе решения задачи отыскивается функция  $u(x)$ , обеспечивающая минимальное значение интегрального коэффициента отражения, а затем по ней восстанавливается зависимость  $S(x)$ .

Коэффициент отражения  $r$  в сечении  $x=0$  может быть выражен через фундаментальную систему решений  $\varphi(x)$ ,  $\psi(x)$  уравнения (1) [3]. Если эти решения удовлетворяют граничным условиям

$$\begin{aligned} \varphi(0) &= 1, & \psi(0) &= 0, \\ \varphi'(0) &= 0, & \psi'(0) &= 1, \end{aligned} \quad (2)$$

то для  $R = |r|^2$  справедливо выражение

$$R = \frac{\Phi - 2 \frac{S(0) S_2}{S(x_0) S_1} \cdot \frac{\rho_1 c_1}{\rho_2 c_2} W}{\Phi + 2 \frac{S(0) S_2}{S(x_0) S_1} \cdot \frac{\rho_1 c_1}{\rho_2 c_2} W}, \quad (3)$$

где

$$\begin{aligned} \Phi &= \left[ \frac{S_1 S(0)}{S_2 S(x_0)} \varphi(x_0) \right]^2 + \left[ \frac{\rho_1 c_1}{\rho_2 c_2} \psi'(x_0) \right]^2 + \\ &+ \left[ \frac{S(0) \rho c \varphi'(x_0)}{S_1 k \rho_2 c_2} \right]^2 + \left[ \frac{k \rho_1 c_1 S_2}{\rho c S(x_0)} \psi(x_0) \right]^2, \end{aligned} \quad (4)$$

$W$  — вронскиан уравнения (1), величины  $\rho$ ,  $c$ ,  $k$  без индексов относятся к согласующему стержню.

Фундаментальная система решений  $\varphi$ ,  $\psi$  полностью определяется заданием  $k$ ,  $x_0$  и  $u(x)$ , а через фундаментальную систему по формулам (3) и (4) определяется  $R$ , т. е.  $R = R[k, x_0, u(x)]$ . Таким образом, минимизации путем выбора подходящей функции  $u(x)$  подлежит функционал

$$F[x_0, u(x)] = \int_{k_1}^{k_2} R^2[k, x_0, u(x)] v(k) dk. \quad (5)$$

Близкая по характеру задача рассмотрена также в [4]. Здесь, как и в [4], минимизацию будем осуществлять методом градиентного спуска. При этом решение задачи не является единственным, и результат зависит от выбора начального приближения.

Алгоритм минимизации функционала  $F$  существенно упрощается, если найти в общем виде операторные производные [5] от  $F$  по  $u(x)$  и  $x_0$ . Ниже приводится расчет производных от  $F$  по  $u(x)$  при фиксированном  $x_0$ .

Обозначим через  $R_\delta(k)$  коэффициент отражения по энергии для системы с функцией управления  $u(x) + \delta u_1(x)$ , где  $\delta$  — малый параметр, а  $u_1(x)$  — произвольная кусочно-непрерывная функция. В дальнейшем будут также использованы функции  $\varphi_\delta$  и  $\psi_\delta$  — решения уравнения

$$\xi'' + [u(x) + \delta u_1(x)] \xi' + k^2 \xi = 0 \quad (6)$$

с граничными условиями (2). Представим эти функции в виде разложения по параметру  $\delta$ :

$$\begin{aligned} \varphi_\delta(x) &= \varphi(x) + \delta \varphi_1(x) + \delta^2 \varphi_2(x) + \dots, \\ \psi_\delta(x) &= \psi(x) + \delta \psi_1(x) + \delta^2 \psi_2(x) + \dots, \end{aligned} \quad (7)$$

где  $\varphi(x)$  и  $\psi(x)$  — введенные ранее решения уравнения (1) с граничными условиями (2). При этом для  $\varphi_i(x)$  и  $\psi_i(x)$  ( $i=1, 2 \dots$ ) справедливы однородные граничные условия:

$$\begin{aligned} \varphi_i(0) &= 0, & \psi_i(0) &= 0, \\ \varphi_i'(0) &= 0, & \psi_i'(0) &= 0. \end{aligned} \quad (8)$$

Подставляя разложения (7) в уравнение (6), получим уравнения для  $\varphi_1(x)$  и  $\psi_1(x)$ :

$$\begin{aligned} \varphi_1''(x) + u(x)\varphi_1'(x) + k^2\varphi_1(x) &= -u_1(x)\varphi'(x), \\ \psi_1''(x) + u(x)\psi_1'(x) + k^2\psi_1(x) &= -u_1(x)\psi'(x). \end{aligned} \quad (9)$$

Решения уравнений (9) могут быть выражены через фундаментальную систему  $\varphi, \psi$  [6]. С учетом условий (8) найдем:

$$\varphi_1(x) = -\psi(x) \int_0^x \frac{u_1(t)\varphi(t)\varphi'(t)}{W} dt + \varphi(x) \int_0^x \frac{u_1(t)\varphi'(t)\psi(t)}{W} dt, \quad (10)$$

$$\psi_1(x) = -\psi(x) \int_0^x \frac{u_1(t)\varphi(t)\psi'(t)}{W} dt + \varphi(x) \int_0^x \frac{u_1(t)\psi(t)\psi'(t)}{W} dt.$$

Вариацию  $\delta R$  коэффициента отражения по энергии определим как разность величин  $R_\delta$  и  $R$ , в которой сохраняется только член, линейный по  $\delta$ :

$$\delta R = \frac{4 \frac{S(0)S_2}{S(x_0)S_1} \cdot \frac{\rho_1 c_1}{\rho_2 c_2} (W \delta \Phi - \Phi \delta W)}{\left[ \Phi + 2 \frac{S(0)S_2}{S(x_0)S_1} \frac{\rho_1 c_1}{\rho_2 c_2} W \right]^2},$$

где

$$\begin{aligned} \delta \Phi = 2\delta \left\{ \left[ \frac{S(0)S_2}{S(x_0)S_1} \right]^2 \varphi_1 \varphi + \psi_1' \psi + \frac{1}{k^2} \left[ \frac{S(0)}{S_1} \right]^2 \varphi_1' \varphi' + \right. \\ \left. + k^2 \left[ \frac{S_2}{S(x_0)} \right]^2 \psi_1 \psi \right\}, \end{aligned}$$

$$\delta W = \delta(\varphi_1 \psi' + \psi_1 \varphi - \varphi' \psi - \psi_1 \varphi'),$$

а  $\varphi'$  и  $\psi'$  определяются дифференцированием формул (10). В результате  $\delta R$  приводится к виду:

$$\delta R(k) = \delta \int_0^{x_0} f[k, u(t)] u_1(t) dt,$$

где

$$\begin{aligned} f[k, u(x)] = -4 \frac{S(0)S_2}{S(x_0)S_1} \frac{\rho_1 c_1}{\rho_2 c_2} W(x_0) \cdot \left\{ 2 \left[ \psi'(x_0)\varphi'(x_0) + \right. \right. \\ \left. \left. + k^2 \frac{S_2^2}{S^2(x_0)} \psi(x_0)\varphi(x_0) \right] \cdot \left[ \frac{1}{k^2} \frac{S^2(0)}{S_1^2} \varphi(x)\varphi'(x) - \right. \right. \end{aligned}$$

$$\begin{aligned}
 & -\psi(x)\psi'(x) \Big] - 2\psi'(x)\psi(x) \frac{1}{k^2} \frac{S^2(0)}{S_1^2} \left[ k^2 \frac{S_2^2}{S^2(x_0)} \varphi^2(x_0) + \right. \\
 & \left. + \varphi'^2(x_0) \right] + 2\psi(x)\psi'(x) \left[ \psi'^2(x_0) + k^2 \frac{S_2^2}{S^2(x_0)} \psi^2(x_0) \right] - \\
 & - \Phi(x_0)W(x) \Big] / W(x) \left[ \Phi(x_0) + 2 \frac{S(0)S_2}{S(x_0)S_1} \cdot \frac{\rho_1 c_1}{\rho_2 c_2} W(x_0) \right]^2.
 \end{aligned}$$

Функция  $f[k, u(x)]$  определяется уравнением (6) и от  $u_1(x)$  не зависит.

Вариация функционала  $F$  может быть теперь представлена в виде:

$$\delta F = \delta \int_0^{x_0} f_1(x) u_1(x) dx,$$

где

$$f_1(x) = 2 \int_{k_1}^{k_2} v(k) R(k) f[k, u(x)] dk,$$

и не зависит от  $u_1(x)$ . По определению [5]  $f_1(x)$  является градиентом функционала  $F$  по  $u(x)$ .

Производные функционала  $F$  по длине  $x_0$  согласующего перехода рассчитывались по методу, изложенному в [4]. Первая и вторая производные имеют вид:

$$\frac{\partial F}{\partial x_0} = 2 \int_{k_1}^{k_2} \frac{\partial R}{\partial x_0} R v dk,$$

$$\frac{\partial^2 F}{\partial x_0^2} = 2 \int_{k_1}^{k_2} \left[ \frac{\partial^2 R}{\partial x_0^2} R + \left( \frac{\partial R}{\partial x_0} \right)^2 \right] v dk.$$

Приведенные выражения для  $f_1(x)$ ,  $\partial F/\partial x_0$ ,  $\partial^2 F/\partial x_0^2$  использовались при составлении алгоритма минимизации. Общая схема минимизации совпадает с изложенной в [4]. Однако, поскольку выражение для третьего члена разложения функционала в ряд Тейлора оказывается в данном случае гораздо более громоздким, оценка начального шага в методе градиентного спуска проводилась по пробным расчетам. В связи с тем что основной интерес представляла задача получения коротких согласующих переходов, а при расчетах с переменным  $x_0$  обнаружилась тенденция к увеличению их длины, синтез проводился при фиксированной длине согласующего перехода  $x_0$ . Согласовывались стержни из одинаковых материалов, т. е.  $\rho_1 = \rho_2$ ,  $c_1 = c_2$ . Тот же материал был взят и для согласующего стержня.

На рис. 1 приведены два примера синтеза согласующих переходов для спектральной области  $1 \leq k \leq 2$ . Рис. 1, а относится к согласованию стержней с отношением площадей поперечных сечений 1:5. Длина согласующего перехода меньше 1/3 максимальной длины волны рассматриваемого спектрального диапазона. В качестве начального приближения к профилю перехода был взят чебышевский переход. Отме-

тим, что тот же конечный результат был получен и при другом выборе начального приближения в виде конического перехода, который заведомо не обеспечивает хорошего согласования. При этом расчет занимает больше времени. Этот результат убеждает в достаточной эффективности метода, дающего один и тот же результат при значительном изменении начального приближения.

На рис. 1, б приведен пример синтеза согласующего стержня для системы, в которой осуществить согласование гораздо труднее: переход меньше  $1/4$  максимальной длины волны, отношение площадей поперечных сечений волноводов 1:25. В этом случае коэффициент отражения без согласования превышает 85%. Чебышевский переход длиной

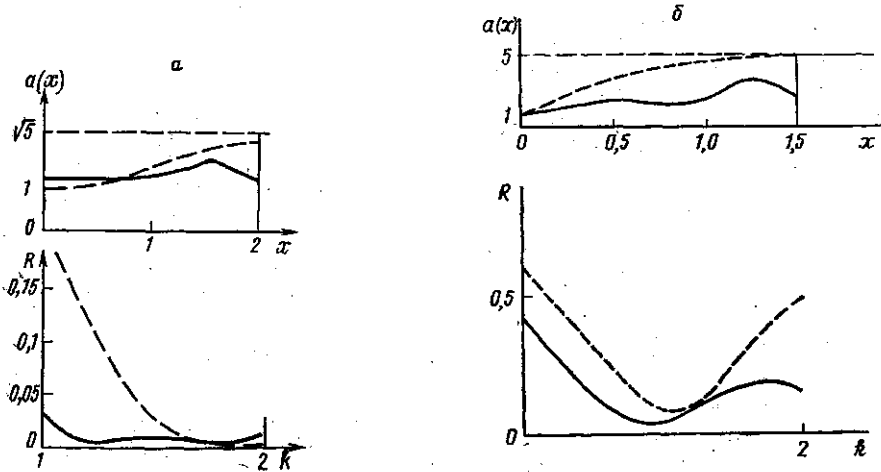


Рис. 1. Зависимость радиуса  $a$  перехода от координаты  $x$  и частотная зависимость коэффициента  $R$  в исходном приближении (штриховые линии) и полученные в результате расчетов (сплошные линии):  $a$  — отношение площадей поперечных сечений 1:5, длина согласующего перехода меньше  $1/3$  максимальной длины волн;  $b$  — соответствующие параметры 1:25 и  $1/4$

$x_0=1,5$  уменьшает его лишь незначительно и поэтому не является в данном случае хорошим начальным приближением. В качестве исходного был взят переход, рассчитанный следующим способом. Управляющая функция представлялась в виде отрезка степенного ряда:  $u(x) = \sum_{i=0}^n c_i x^i$ . Такой выбор представления функции  $u(x)$  связан с тем, что мы считаем эту функцию непрерывной, и согласно теореме Вейерштрасса она может быть сколь угодно точно аппроксимирована полиномом. Можно также показать, что решение уравнения (1) представимо в виде сходящихся рядов, коэффициенты которых вычисляются по рекуррентным формулам через коэффициенты  $c_i$ . Этот способ особенно удобен в тех случаях, когда требуемый уровень согласования может быть достигнут с помощью несложных переходов.

Все переходы, полученные описанным выше способом, имеют длину в несколько раз меньшую, чем известные плавные переходы. Главной особенностью коротких переходов является немонотонность их профиля и значительные скачки площади поперечного сечения на границах со стержневыми волноводами. Физически это можно объяснить

следующим образом: локальные отражения от неоднородностей компенсируют друг друга за счет интерференции между волнами, отраженными от неоднородностей, что приводит к снижению коэффициента  $R$ .

Результаты расчетов показали, что немонотонность профиля полученных переходов увеличивается с уменьшением длины перехода и увеличением перепада радиусов волноводов (рис. 2). Существенная роль скачков сечения на границах перехода подтверждается результатами синтеза при дополнительном требовании непрерывности сечения на границах (рис. 2,  $z$ ). Достигнутый уровень согласования в этом случае меньше, чем при наличии скачков. При этом вблизи границы с волноводом большого радиуса явно намечается тенденция к скачкообразному изменению профиля перехода.

Таким образом, разработанный метод синтеза непрерывных переходов, согласующих в заданной полосе частот стержневые волноводы,

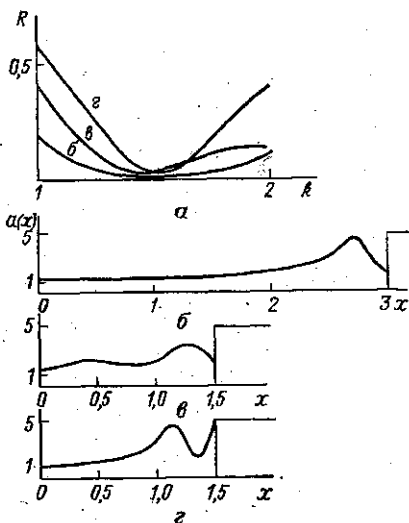


Рис. 2. Согласующие переходы между стержневыми волноводами с отношением площадей поперечных сечений 1:25 и соответствующие зависимости  $R$  от  $k$

позволил получить короткие (в несколько раз короче длины волны) переходы. Выявлены существенные особенности таких переходов: немонотонность их профиля и наличие скачков сечения на границах со стержневыми волноводами. Эти особенности являются следствием того, что снижение коэффициента отражения с помощью таких переходов достигается прежде всего за счет интерференции между волнами, отраженными от неоднородностей.

#### СПИСОК ЛИТЕРАТУРЫ

- [1] Литвиненко О. Н., Сошников В. И. Колебательные системы из отрезков неоднородных линий. М.: Сов. радио, 1972, 144 с. [2] Фельдштейн А. Л., Явич Л. Р. Синтез четырехполосников и восьмиполосников на СВЧ. М.: Связь, 1971, 388 с. [3] Тихонравов А. В. К задаче синтеза слоистых сред с непрерывно распределенными параметрами.— Опт. и спектроскопия, 1977, 42, вып. 6, с. 1183—1187. [4] Именитова Е. В. О синтезе непрерывных согласующих систем.— Вестн. Моск. ун-та. Сер. Физ. Астрон., 1978, 19, № 1, с. 42—46. [5] Колмогоров А. Н., Фомин С. В. Элементы теории функций и функционального анализа. М.: Наука, 1968, 496 с. [6] Камке Э. Справочник по обыкновенным дифференциальным уравнениям. М.: Наука, 1976, 576 с.

Поступила в редакцию  
03.07.79